

Pseudoalteromonas carageenovora 芳香基硫酸酯酶突变文库热稳定性提高突变体的筛选及鉴定

乔超超¹, 王新侠¹, 李鹤宾², 倪 辉¹, 肖安风¹, 朱艳冰^{1,*}

(1.集美大学食品与生物工程学院, 福建 厦门 361021; 2.厦门医学院药学系, 福建 厦门 361023)

摘要: 利用易错聚合酶链式反应技术引入随机诱变, 构建一个*Pseudoalteromonas carageenovora*芳香基硫酸酯酶突变体库。经过筛选, 获得一个芳香基硫酸酯酶热稳定性提高的突变株4-153。序列分析表明, 该突变体有2个氨基酸替换, 包括D84A和H260L。以对硝基苯硫酸钾为底物, 突变酶4-153 (M4-153) 的最适反应温度为55 °C, 在45、50、55、60 °C处理30 min后, M4-153分别保留85%、83%、48%和13%的残留酶活力。野生型酶 (WT) 在45、50、55、60 °C处理30 min后, 分别保留79%、68%、21%和1%的残留酶活力。M4-153与WT相比具有更好的热稳定性。M4-153的最适反应pH值为8.0, 在pH 5.0~9.0范围内保持稳定。EDTA对突变酶的抑制作用表明, 金属离子在突变酶的催化过程中起重要作用。M4-153对一些洗涤剂, 包括Triton X-100、Tween 20、Tween 80和Chaps, 有好的耐受性。M4-153对龙须菜粗多糖硫酸基团的脱硫率为79.5%。

关键词: 芳香基硫酸酯酶; 易错聚合酶链式反应; 热稳定性提高; 突变体性质

Screening and Characterization of Mutant with Improved Thermostability from a Random Mutant Library of *Pseudoalteromonas carageenovora* Arylsulfatase

QIAO Chaochao¹, WANG Xinxia¹, LI Hebin², NI Hui¹, XIAO Anfeng¹, ZHU Yanbing^{1,*}

(1. College of Food and Biological Engineering, Jimei University, Xiamen 361021, China;

2. Department of Pharmacy, Xiamen Medical College, Xiamen 361023, China)

Abstract: A library of *Pseudoalteromonas carageenovora* arylsulfatase mutants was constructed by random mutagenesis using error-prone PCR. After screening, one mutant strain named 4-153 was obtained whose arylsulfatase had improved thermal stability. It was found that there were two amino acid substitutions in the mutant, including D84A and H260L. When *p*-nitrophenyl sulfate was used as a substrate, the optimal reaction temperature for the mutant enzyme was 55 °C. Mutant arylsulfatase 4-153 (M4-153) retained 85%, 83%, 48%, and 13% of its initial activity after incubation at 45, 50, 55 and 60 °C for 30 min, respectively. Meanwhile, wild-type arylsulfatase (WT) retained 79%, 68%, 21%, and 1% of its initial activity after incubation at 45, 50, 55 and 60 °C for 30 min, respectively. These results showed that M4-153 had a better thermal stability than WT. M4-153 had an optimum pH of 8.0, and it was stable over the pH range of 5.0~9.0. Inhibition assay with EDTA indicated that metal ions played an important role in the catalytic process of the mutant enzyme. The recombinant arylsulfatase 4-153 showed a relatively strong tolerance to some detected detergents including Triton X-100, Tween 20, Tween 80, and Chaps. The desulfurization ratio of the crude polysaccharides from *Gracilaria lemaneiformis* by M4-153 was 79.5%.

Key words: arylesterase; error-prone PCR; improved thermostability; mutant property

DOI:10.7506/spkx1002-6630-201710004

中图分类号: Q814.9

文献标志码: A

文章编号: 1002-6630 (2017) 10-0018-06

引文格式:

乔超超, 王新侠, 李鹤宾, 等. *Pseudoalteromonas carageenovora* 芳香基硫酸酯酶突变文库热稳定性提高突变体的筛选及鉴定[J]. 食品科学, 2017, 38(10): 18-23. DOI:10.7506/spkx1002-6630-201710004. <http://www.spkx.net.cn>

QIAO Chaochao, WANG Xinxia, LI Hebin, et al. Screening and characterization of mutant with improved thermostability from a random mutant library of *Pseudoalteromonas carageenovora* arylsulfatase[J]. Food Science, 2017, 38(10): 18-23. (in Chinese with English abstract) DOI:10.7506/spkx1002-6630-201710004. <http://www.spkx.net.cn>

收稿日期: 2016-09-02

基金项目: 国家自然科学基金青年科学基金项目 (31401632); 福建省高校新世纪优秀人才支持计划项目 (B15139)

作者简介: 乔超超 (1991—), 男, 硕士研究生, 主要从事食品科学研究。E-mail: 451028523@qq.com

*通信作者: 朱艳冰 (1976—), 女, 副教授, 博士, 主要从事食品科学研究。E-mail: yanbingzhu@163.com

琼脂是构成红藻细胞壁的主要结构多糖，由琼脂糖和硫琼胶组成^[1]。琼脂糖是由(1-3)- β -D-半乳糖和(1-4)-3,6-内醚- α -L-半乳糖相互交替连接而成的长链结构^[1]。硫琼胶的结构与琼脂糖基本相同，主要差别是替换了半乳糖残基C6位置上的羟基，以硫酸基、甲氨基等基团进行替代^[1]。琼脂的凝胶过程主要是由糖残基的相互交联作用所导致，交联越紧密，形成的琼脂凝胶强度就越大，而硫琼胶上具有的硫酸基等基团会影响分子间的相互交联作用，使得琼脂凝胶强度降低^[2]，琼胶产品质量下降。在琼脂的工业生产中，脱除硫酸基团是很重要的环节，最为广泛的方法为碱法^[3]。国内外常用的碱法可分为3种类型：低温浓碱法、常温浓碱法和高温稀碱法^[4]。这类方法工艺简单、操作方便，但是由于处理过程中大量强碱的使用，使得该方法有反应难控制、产品得率低、胶质易损失和环境污染严重等缺陷。很多研究者开始尝试探索新的有效方法。芳香基硫酸酯酶能催化芳香基硫酸酯键的水解，生成芳基化合物和无机硫酸盐^[5]。芳香基硫酸酯酶具有广泛的分布性，在真菌^[6]、细菌^[7]、海胆^[8]、海藻^[9]、蜗牛^[10]、哺乳动物^[11]和人体^[12]中都有分离得到。其中对一些微生物来源的芳香基硫酸酯酶，这包括从米曲霉^[13]、肺炎克雷伯杆菌^[14]、肺炎克雷伯菌^[15]、海单胞菌^[16]、交替假单孢菌^[17]、铜绿假单胞菌^[7,18]、鼠伤寒沙门氏菌^[19]、黏质沙雷氏菌^[20]、鞘氨醇单胞菌^[21]、链霉菌^[22]和海栖热袍菌^[23]中得到的芳香基硫酸酯酶进行了研究，并发现某些芳香基硫酸酯酶具有可裂解琼脂上硫酸酯键的功能^[5,16-17]。利用酶法去除硫酸基团具有反应条件温和、易控制、硫酸基团脱除率高，环境污染小等优点。芳香基硫酸酯酶在琼脂提取工业中具有潜在的应用价值^[24]。

来自*Pseudoalteromonas carageenovora*的芳香基硫酸酯酶对对硝基苯硫酸钾(potassium 4-nitrophenyl sulfate, p-NPS)有活性，以及有脱除琼脂硫酸基团的能力^[17]。从*P. carageenovora*分离得到的芳香基硫酸酯酶基因(984 bp)克隆并在大肠杆菌中表达，发现45 ℃以上重组酶热稳定性不高。本研究以易错聚合酶链式反应(polymerase chain reaction, PCR)为基础定向进化提高该酶的热稳定性，并研究突变酶的酶学性质。

1 材料与方法

1.1 材料与试剂

E. coli BL21 (DE3)、pET-28a质粒由集美大学食品与生物工程学院发酵工程实验室保藏。

质粒提取试剂盒、DNA凝胶回收试剂盒 天根生化科技(北京)有限公司；限制性内切酶BamH I和HindIII、T4 DNA连接酶、rTaq酶、dNTPs TaKaRa公司；p-NPS 美国Sigma公司。

1.2 仪器与设备

双层全温度恒温摇床 上海智城分析仪器制造有限公司；双人单面净化工作台 苏州净化设备有限公司；酶标仪 美国BioTek公司；超声细胞破碎仪 美国Sonics公司；数显恒温水浴锅 常州国华电器有限公司；蛋白电泳仪 美国Bio-Rad公司；小型高速常温离心机、蛋白核酸测定仪 德国Eppendorf公司；大型高速冷冻离心机 美国Beckman公司；离子色谱 美国Dionex公司；凝胶成像系统 美国GE公司；数控超声波清洗器 昆山市超声仪器有限公司。

1.3 方法

1.3.1 芳香基硫酸酯酶随机突变体库的构建

*P. carageenovora*芳香基硫酸酯酶含有信号肽，其长度为18个氨基酸。在前期研究中，构建了不含信号肽的芳香基硫酸酯酶基因(930 bp)重组质粒pET-28a-ars。随机突变体库是基于易错PCR构建。以重组质粒pET-28a-ars为模板，使用上游引物ars-F (5'-CGCGGATCCTTTACGTTAACGGCAGC-3') 和下游引物ars-R (5'-CCCAAGCTTGCCTTTAGTCGTAAC-3') (划线部分分别为BamH I 和HindIII的酶切位点) 对目的基因进行扩增。总反应体系为50 μL，其中包含5 μL 10×缓冲液、0.2 μmol/L 引物、0.5 mmol/L dTTP、0.5 mmol/L dGTP、0.1 mmol/L dATP、0.1 mmol/L dCTP、1 U rTaq 聚合酶、7 mmol/L MgCl₂、2 ng 重组质粒模板。热循环参数为：95 ℃ 5 min；94 ℃ 45 s，50 ℃ 45 s，72 ℃ 1 min (35次)；72 ℃ 10 min。BamH I 和HindIII消化后，PCR产物插入pET-28a (+)载体，构建重组质粒突变文库。质粒转化大肠杆菌BL21 (DE3)，生成突变文库。

1.3.2 热稳定性提高突变株的筛选

将文库的突变子涂布于LB固体培养基(含50 mg/mL卡那霉素和0.05 mmol/mL异丙基- β -D-硫代半乳糖苷(isopropyl β -D-1-thiogalactopyranoside, IPTG)，37 ℃过夜培养后，根据产芳香基硫酸酯酶菌株水解底物p-NPS的显色反应来进行突变文库的初筛。含有菌株的平板经过50 ℃处理2 h后，用含20 mmol/L p-NPS的软琼脂覆盖，这时野生型菌株无显色反应，具有显色反应的菌落认为是热稳定性提高的突变株。菌株过夜培养后，按1:100 (V/V)转接到5 mL LB液体培养基(含50 mg/mL卡那霉素)中，37 ℃、180 r/min培养至OD_{600 nm}达到0.6，加入终浓度为0.05 mmol/mL IPTG，25 ℃、180 r/min培养10 h。离心收集菌体，重悬于50 mmol/L Tris-HCl缓冲液(pH 7.5)中，在冰浴条件下进行超声波破碎处理，10 000 r/min离心20 min获得的上清液即为粗酶液。粗酶液在50 ℃处理2 h后，按下述1.3.5节的方法检测酶的残余活力，进行复筛验证。复筛后得到的热稳定性提高突变株，送至铂尚生物技术(上海)有限公司进行基因测序分析。

1.3.3 重组酶的表达与纯化

突变型和野生型菌株分别接种至200 mL含50 μg/mL卡那霉素的LB培养基中, 37 °C摇动培养至OD_{600 nm}达到0.5, 然后加入IPTG至终浓度为0.05 mmol/L。在25 °C孵育10 h后, 诱导细胞通过6 000 r/min离心5 min收获。纯化带有His标签的蛋白质, 使用Ni Sepharose 6 Fast Flow在自然条件下进行亲和层析。纯化后的蛋白用Bradford法测定蛋白质浓度^[25], 十二烷基硫酸钠-聚丙烯酰胺凝胶电泳(sodium dodecyl sulfate-polyacrylamide gel electrophoresis, SDS-PAGE)分析纯化的酶, 并对其分子质量进行分析。

1.3.4 芳香基硫酸酯酶的活性测定

根据Kim等^[17]的方法稍作修改后, 测定芳香基硫酸酯酶的活力(文中进行酶学性质分析使用的酶为纯化后的酶, 除非另有说明)。取80 μL用50 mmol/L Tris-HCl缓冲液(野生型使用pH 7.5, 突变体使用pH 8.0)配制的20 mmol/L p-NPS底物溶液, 加入20 μL酶液(400 ng), 55 °C孵育10 min后, 加入25 μL 5 mol/L NaOH溶液终止反应。在410 nm波长处使用分光光度计测定吸光度。在此条件下, 每分钟催化生成1 μmol对硝基苯酚所需的酶量定义为一个酶活力单位(U)。

1.3.5 反应温度对酶活性的影响

突变酶的最适反应温度在30~80 °C的范围内测定。突变型与野生型酶的热稳定性在45、50、55、60 °C下进行。将酶在不同温度条件下处理30 min后, 测定酶的残余活力, 以未经处理的酶活力作为100%。

1.3.6 pH值对突变酶活性的影响

将酶在pH3.0~10.0的缓冲液中于37 °C放置1 h后, 测定酶的残余活力。以未经处理的酶活力定义为100%。测定使用的缓冲液为: 50 mmol/L 磷酸二氢钠-柠檬酸(pH 3.0~5.0)、50 mmol/L 柠檬酸-柠檬酸钠缓冲液(pH 5.0~7.0), 50 mmol/L Tris-HCl缓冲液(pH 7.0~9.0), 50 mmol/L 甘氨酸-氢氧化钠缓冲液(pH 9.0~10.0)。

1.3.7 金属离子对突变酶活性的影响

在突变酶中分别添加终浓度为1 mmol/L或10 mmol/L的不同金属盐离子, 包括NaCl、KCl、CaCl₂、MgCl₂、ZnCl₂、CuCl₂、MnCl₂、CoCl₂和CdCl₂。37 °C条件下放置1 h后, 测定酶的残余活力, 研究金属离子对突变酶活性的影响。以未添加金属离子的酶活力为100%。

1.3.8 抑制剂和洗涤剂对突变酶活性的影响

在突变型芳香基硫酸酯酶中分别添加终浓度为1 mmol/L或10 mmol/L的抑制剂(包括乙二胺四

乙酸(ethylenediaminetetraacetic acid, EDTA)、β-巯基乙醇(β-mercaptoethanol, β-ME)、二硫苏糖醇(DL-dithiothreitol, DTT)和苯甲基碘酰氟(phenylmethanesulfonyl fluoride, PMSF))、0.1%或1%去垢剂(包括Triton X-100、Tween 20、Tween 80、Chaps和SDS)。置于37 °C条件下放置1 h后, 测定酶的残余活力, 研究抑制剂和洗涤剂对突变酶活性的影响。以未添加抑制剂或去垢剂的酶活力为100%。

1.3.9 动力学参数的测定

400 ng突变酶与不同浓度(0.1~3.0 mmol/L)p-NPS在最适条件下反应10 min后, 测定酶的活力。用Lineweaver-Burk双倒数作图, 得到线性回归方程, 并分析计算酶的动力学参数米氏常数(K_m)和最大反应速率(v_{max})。

1.3.10 脱除龙须菜粗多糖硫酸基团的研究

称取0.1 g龙须菜粗多糖溶解于20 mL 50 mmol/L Tris-HCl(pH 7.5)缓冲液中。分别加入60 U和90 U的野生型或突变型酶, 45 °C条件下处理4 h。将处理后的混合溶液置于尼龙布上, 用超纯水充分洗涤后, 烘干粉碎。称取等质量的经过酶处理后与未处理的龙须菜粗多糖, 高温碳化后, 置于马弗炉中550 °C灰化4 h, 将所得灰分全部溶于超纯水中, 定容至25 mL。取1 mL溶液用0.22 μm的膜过滤后, 利用ICS-2100离子色谱测定样品的硫酸基团含量。以未经酶处理的粗多糖为对照, 根据以下公式计算脱硫率:

$$\text{脱硫率}/\% = \frac{\text{总硫酸根含量} - \text{剩余硫酸根含量}}{\text{总硫酸根含量}} \times 100$$

2 结果与分析

2.1 芳香基硫酸酯酶随机突变体库的构建与筛选

芳香基硫酸酯酶基因利用易错PCR技术引入随机诱变, 库容量约为2.0×10⁵。经过两步筛选, 发现突变体4-153与野生型相比热稳定性提高。基因序列分析发现, 野生型与突变型酶基因相比有3个碱基被替换, 导致4-153有2个氨基酸残基发生改变, 分别为D84A和H260L(野生型和突变型芳香基硫酸酯酶4-153分别命名为WT和M4-153)。突变酶4-153被选定做进一步的酶学性质研究。

2.2 突变型和野生型酶的表达与纯化

经过诱导表达后, 分别对重组的WT和M4-153进行纯化。对纯化后的蛋白质进行SDS-PAGE分析显示, 突变后的芳香基硫酸酯酶大小与野生型一致, 并测得WT和M4-153的酶活力分别为11.3、7.8 U/mg。

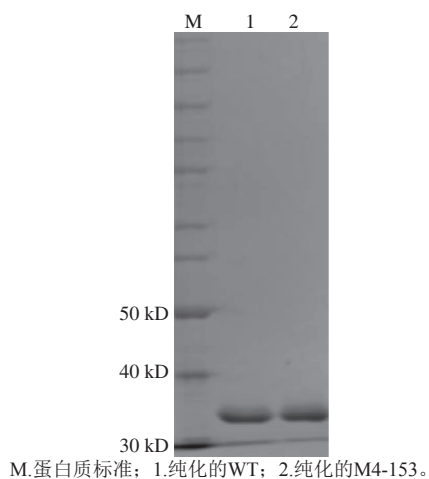


图1 芳香基硫酸酯酶在大肠杆菌中的表达
Fig. 1 Expression of the arylsulfatase genes in *E. coli*

2.3 温度对芳香基硫酸酯酶的影响

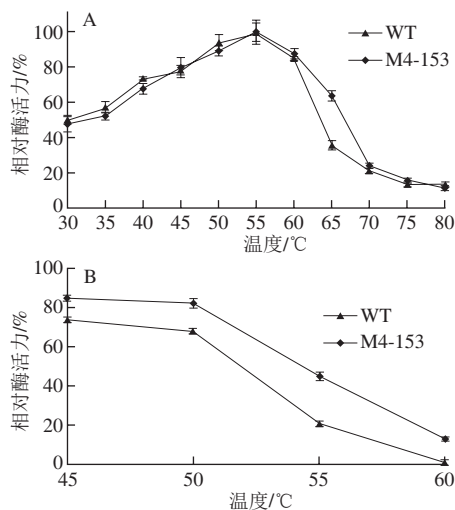


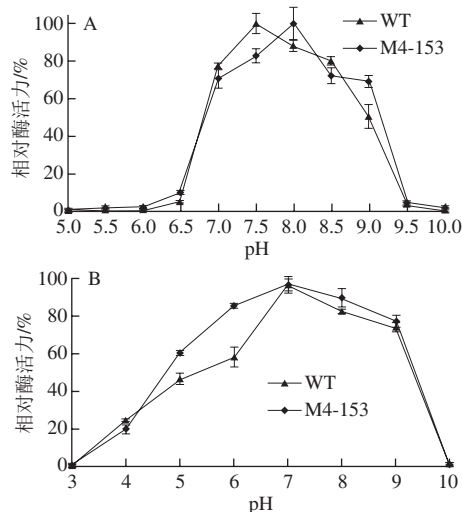
Fig. 2 Effect of temperature on the activity of M4-153 and WT

M4-153的最适温度在30~80 °C内进行测定。如图2所示, M4-153和WT的最适反应温度为55 °C, 在45~60 °C温度范围内仍可以保持超过80%活性(图2A)。热稳定性分析显示, 在45、50、55、60 °C条件下处理30 min后, M4-153分别保留了85%、83%、48%、13%的残余活性, 而WT在45、50、55、60 °C处理30 min后, 分别保留了79%、68%、21%、1%的残余活性(图2B)。以上结果表明, 突变酶M4-153比野生型酶WT具有更好的热稳定性。

2.4 pH值对突变酶活性的影响

芳香基硫酸酯酶M4-153和WT的最适pH值在5.0~10.0的范围内测定, 结果如图3A所示, M4-153的最适pH值为8.0, WT的最适pH值为7.5。当pH值低于6.5或

高于9.5, M4-153和WT的酶活性急剧降低。pH值稳定性实验结果表明, M4-153在pH 5.0~9.0范围内保持稳定, 在37 °C放置1 h后仍能保留其原活性的60%以上, 而WT在pH 6.0~9.0范围内保持稳定, 在37 °C放置1 h后仍能保留其原活性的60%以上(图3B)。



A. M4-153最适反应pH值；B. M4-153的pH值稳定性。
图3 pH值对M4-153和WT活性和稳定性的影响
Fig. 3 Effect of pH on the activity and stability of M4-153 and WT

2.5 金属离子对突变酶活性的影响

表1 金属离子对突变酶活性的影响
Table 1 Effects of metal ions on mutant arylsulfatase activity

金属离子	浓度/(mmol/L)	相对酶活力/%
对照	0	100.0±2.5
Na^+	1	102.5±3.1
	10	111.9±2.3
K^+	1	99.6±3.8
	10	98.2±2.5
Ca^{2+}	1	108.4±5.8
	10	143.3±6.8
Mg^{2+}	1	84.7±2.0
	10	80.2±2.4
Mn^{2+}	1	98.4±1.4
	10	156.0±5.6
Cu^{2+}	1	5.9±1.1
	10	NA
Zn^{2+}	1	NA
	10	NA
Co^{2+}	1	121.7±2.3
	10	92.9±2.3
Cd^{2+}	1	67.1±2.6
	10	54.6±1.9

注: NA.无酶活力。

由表1可知, K^+ 对突变芳香基硫酸酯酶活力没有显著的影响, 而 Mg^{2+} 、 Cu^{2+} 、 Zn^{2+} 、 Cd^{2+} 会抑制酶的活

性, 浓度越高抑制越明显, Zn^{2+} 和高浓度的 Cu^{2+} 会导致酶完全失活。 Ca^{2+} 对突变酶的活力有一定的促进作用。1 mmol/L的 Na^+ 和 Mn^{2+} 对酶活力没有影响, 而10 mmol/L的 Na^+ 、和 Mn^{2+} 对酶活力具有促进作用。 Co^{2+} 在1 mmol/L对酶活性有促进作用, 当浓度增大到10 mmol/L时会稍微抑制酶活力。

2.6 抑制剂和去垢剂对突变酶活性的影响

表2 抑制剂和去垢剂对突变酶的影响

Table 2 Effects of inhibitors and detergents on mutant arylsulfatase activity

抑制剂或去垢剂	浓度或体积分数	相对酶活力/%
对照	0	100.0±2.2
EDTA	1 mmol/L	28.9±0.2
	10 mmol/L	29.1±1.4
β -ME	1 mmol/L	80.2±1.0
	10 mmol/L	78.1±3.3
DTT	1 mmol/L	62.7±1.9
	10 mmol/L	49.6±1.2
PMSF	1 mmol/L	96.6±1.3
	10 mmol/L	89.7±0.4
Triton X-100	0.1%	98.0±1.9
	1.0%	93.4±4.8
Tween 20	0.1%	98.1±0.5
	1.0%	98.1±2.8
Tween 80	0.1%	99.1±4.9
	1.0%	97.9±3.5
SDS	0.1%	59.3±0.8
	1.0%	30.0±1.2
Chaps	0.1%	91.5±2.0
	1.0%	70.9±2.6

由表2可知, 抑制剂EDTA、 β -ME和DTT都对酶活力有抑制作用, 其中最明显的是EDTA, 使得芳香基硫酸酯酶失去超过70%的酶活力。PMSF对酶活性没有强烈的抑制效果, 在浓度为10 mmol/L时, 芳香基硫酸酯酶仍可保留89.7%的相对酶活力。去垢剂SDS和1%的Chaps对酶活力有抑制作用, 其中SDS抑制效果显著, 在加入1%的SDS时, 芳香基硫酸酯酶失去近70%的酶活力。突变酶对Triton X-100、Tween 20和Tween 80有良好的抗性。

2.7 动力学参数

以

-NPS为底物, 用Lineweaver-Burk双倒数法做图, 计算突变酶的动力学参数。M4-153的 K_m 和 v_{max} 值分别为0.73 mmol/L和12.21 μ mol/(mg·min)。

2.8 脱除龙须菜粗多糖的硫酸基团

由表3可知, 在45 °C条件下处理4 h的条件下, 随着加酶量的增多, 龙须菜粗多糖被脱除的硫酸基团就越多。当加酶量为90 U时, M4-153能脱除79.5%的硫酸基团, 而野生型脱除率为76.3%。

表3 突变型和野生型芳香基硫酸酯酶对龙须菜粗多糖硫酸基团的脱除
Table 3 Effects of enzymatic treatment with purified mutant and wide-type arylsulfatases on the desulfuration efficiency of crude polysaccharides from *Gracilaria lemaneiformis*

	加酶量/U	酶处理前后琼脂中的硫酸基含量/%	脱硫率/%
WT	0	2.24±0.10	0
	60	1.13±0.06	49.6
	90	0.53±0.13	76.3
M4-153	60	0.96±0.07	57.1
	90	0.46±0.03	79.5

3 讨论

定向进化是一种提高酶热稳定性、底物特异性等的有效方法。基于易错PCR的定向进化方法, 由于简单易行而被广泛应用^[26-27]。本研究利用易错PCR方法构建了一个*P. carrageenovora*芳香基硫酸酯酶突变体库, 并筛选得到热稳定性提高的突变酶M4-153。

琼脂是典型的热融性分子, 需要加热以成为液体状态, 它的融解温度为43 °C, 温度保持在45 °C以上时不会形成凝胶。因此, 水解琼脂硫酸基团的酶在45 °C以上保持稳定才能在工业应用上有良好的前景。本研究中, 突变酶的热稳定性分析结果显示, 酶在高于45 °C时热稳定性提高。在相同的条件下, M4-153对龙须菜琼脂硫酸基团的脱硫率高于WT, 并且M4-153在pH 5.0~9.0范围内保持稳定, 这些提高了突变酶的工业应用前景。

EDTA对M4-153的酶活性有较强的抑制效果, 这表明金属离子在酶的催化过程中起主要作用。SDS对酶活力也有着抑制作用, 推测是由于SDS与芳香基硫酸酯酶的疏水性氨基酸残基上的烷基结合并造成影响, 来自*Marinomonas* sp. FW-1的芳香基硫酸酯酶也有着相似的结果^[16]。M4-153在一些洗涤剂的存在下仍然保持相对稳定, 如Triton X-100、Tween 20、Tween 80和Chaps, 这些性质提高了该突变酶在工业利用过程中的潜在价值。

硫酸基含量是琼脂的一个重要质量标准^[28], 芳香基硫酸酯酶是一种可在温和条件下进行琼脂脱硫的理想候选酶。本研究中当突变酶M4-153的加酶量达90 U, 在45 °C处理4 h后, 龙须菜粗多糖硫酸基含量下降了79.5%, 该突变芳香基硫酸酯酶是琼脂脱硫应用中的潜在催化剂。

参考文献:

- [1] DUCKWORTH M, YAPHE W. The structure of agar: part I . Fractionation of a complex mixture of polysaccharides[J]. Carbohydrate Research, 1971, 16(1): 189-197. DOI:10.1016/S0008-6215(00)86113-3.
- [2] ARNOTT S, FULMER A, SCOTT W E, et al. The agarose double helix and its function in agarose gel structure[J]. Journal of Molecular Biology, 1974, 90(2): 269-284. DOI:10.1016/0022-2836(74)90372-6.

- [3] GUISELEY K B. The relationship between methoxyl content and gelling temperature of agarose[J]. Carbohydrate Research, 1970, 13(2): 247-256. DOI:10.1016/S0008-6215(00)80831-9.
- [4] 黄婷婷, 叶李艺, 沙勇, 等. 龙须菜提取琼胶碱处理工艺条件优化[J]. 化学工程与装备, 2010(10): 12-15. DOI:10.3969/j.issn.1003-0735.2010.10.004.
- [5] BOLTES I, CZAPINSKA H, KAHNERT A, et al. 1.3 Å structure of arylsulfatase from *Pseudomonas aeruginosa* establishes the catalytic mechanism of sulfate ester cleavage in the sulfatase family[J]. Structure, 2001, 9(6): 483-491. DOI:10.1016/S0969-2126(01)00609-8.
- [6] PAIETTA J V. Molecular cloning and regulatory analysis of the arylsulfatase structural gene of *Neurospora crassa*[J]. Molecular and Cellular Biology, 1989, 9(9): 3630-3637. DOI:10.1128/MCB.9.9.3630Mol.Cell.Biol.
- [7] BEIL S, KEHRLI H, JAMES P, et al. Purification and characterization of the arylsulfatase synthesized by *Pseudomonas aeruginosa* PAO during growth in sulfate-free medium and cloning of the arylsulfatase gene (*atsA*)[J]. European Journal of Biochemistry, 1995, 229(2): 385-394. DOI:10.1111/j.1432-1033.1995.0385k.x.
- [8] YAMADA K, AKASAKA K, SHIMADA H. Structure of sea-urchin arylsulfatase gene[J]. European Journal of Biochemistry, 1989, 186(1/2): 405-410. DOI:10.1111/j.1432-1033.1989.tb15223.x.
- [9] HOSTOS E L, SCHILLING J, GROSSMAN A R. Structure and expression of the gene encoding the periplasmic arylsulfatase of *Chlamydomonas reinhardtii*[J]. Molecular and General Genetics, 1989, 218(2): 229-239. DOI:10.1007/BF00331273.
- [10] WITTSTOCK U, FISCHER M, SVENDSEN I, et al. Cloning and characterization of two cDNAs encoding sulfatases in the Roman snail, *Helix pomatia*[J]. International Union of Biochemistry and Molecular Biology Life, 2000, 49(1): 71-76. DOI:10.1080/713803591.
- [11] WAHEED A, RISLEY J M, van ETTEL R L. Structural and immunological relationships among mammalian arylsulfatase a enzymes[J]. Comparative Biochemistry and Physiology Part B: Comparative Biochemistry, 1985, 82(4): 855-862. DOI:10.1016/0305-0491(85)90535-8.
- [12] STEVENS R L, FLUHARTY A L, KILLGROVE A R, et al. Microheterogeneity of arylsulfatase a from human tissues[J]. Biochimica et Biophysica Acta-Enzymology, 1976, 445(3): 661-671. DOI:10.1016/0005-2744(76)90118-2.
- [13] BENKOVIC S J, VERGARA E V, HEVEY R C. Purification and properties of an arylsulfatase from *Aspergillus oryzae*[J]. Journal of Biological Chemistry, 1971, 246(16): 4926-4933.
- [14] OKAMURA H, YAMADA T, MUROOKA Y, et al. Purification and properties of arylsulfatase of *Klebsiella aerogenes* identity of the enzymes formed by non-repressed and de-repressed synthesis[J]. Agricultural and Biological Chemistry, 1976, 40(10): 2071-2076. DOI:10.1080/00021369.1976.10862350.
- [15] MIECH C, DIERKS T, SELMER T, et al. Arylsulfatase from *Klebsiella pneumoniae* carries a formylglycine generated from a serine[J]. Journal of Biological Chemistry, 1998, 273(9): 4835-4837. DOI:10.1074/jbc.273.9.4835.
- [16] WANG X Y, DUAN D L, XU J C, et al. Characterization of a novel alkaline arylsulfatase from *Marinomonas* sp. FW-1 and its application in the desulfation of red seaweed agar[J]. Journal of Industrial Microbiology and Biotechnology, 2015, 42(10): 1353-1362. DOI:10.1007/s10295-015-1625-6.
- [17] KIM D E, KIM K H, BAE Y J, et al. Purification and characterization of the recombinant arylsulfatase cloned from *Pseudoalteromonas carageenovora*[J]. Protein Expression and Purification, 2005, 39(1): 107-115. DOI:10.1016/j.pep.2004.09.007.
- [18] MARINO T, RUSSO N, TOSCANO M. Catalytic mechanism of the arylsulfatase promiscuous enzyme from *Pseudomonas aeruginosa*[J]. Chemistry, 2013, 19(6): 2185-2192. DOI:10.1002/chem.201201943.
- [19] HENDERSON M J, MILAZZO F H. Arylsulfatase in *Salmonella typhimurium*: detection and influence of carbon source and tyramine on its synthesis[J]. Journal of Bacteriology, 1979, 139(1): 80-87.
- [20] MUROOKA Y, YIM M H, HARADA T. Formation and purification of *Serratia marcescens* arylsulfatase[J]. Applied and Environmental Microbiology, 1980, 39(4): 812-817.
- [21] KIM J H, BYUN D S, GODBER J S, et al. Purification and characterization of arylsulfatase from *Sphingomonas* sp. AS6330[J]. Applied Microbiology and Biotechnology, 2004, 63(5): 553-559. DOI:10.1007/s00253-003-1463-8.
- [22] UEKI T, SAWADA Y, FUKAGAWA Y, et al. A new type of streptomycete arylsulfatase with high affinity to the sulfuryl moiety of the substrate[J]. Bioscience, Biotechnology, and Biochemistry, 1995, 59(6): 1069-1075. DOI:10.1271/bbb.59.1069.
- [23] LEE D G, SHIN J G, JEON M J, et al. Heterologous expression and characterization of a recombinant thermophilic arylsulfatase from *Thermotoga maritima*[J]. Biotechnology and Bioprocess Engineering, 2013, 18(5): 897-902. DOI:10.1007/s12257-013-0094-x.
- [24] SHUKLA M K, KUMAR M, PRASAD K, et al. Partial characterization of sulfohydrolase from *Gracilaria dura* and evaluation of its potential application in improvement of the agar quality[J]. Carbohydrate Polymers, 2011, 85(1): 157-163. DOI:10.1016/j.carbpol.2011.02.009.
- [25] BRADFORD M M. A rapid and sensitive method for the quantitation of microgram quantities of protein utilizing the principle of protein-dye binding[J]. Analytical Biochemistry, 1976, 72(1/2): 248-254. DOI:10.1016/0003-2697(76)90527-3.
- [26] MABROUK S B, AYADI D Z, HLIMA H B, et al. Thermostability improvement of maltogenic amylase MAUS149 by error prone PCR[J]. Journal of Biotechnology, 2013, 168(4): 601-606. DOI:10.1016/j.biote.2013.08.026.
- [27] LIN L, FU C G, HUANG W Q. Improving the activity of the endoglucanase, Cel8M from *Escherichia coli* by error-prone PCR[J]. Enzyme and Microbial Technology, 2016, 86: 52-58. DOI:10.1016/j.enzmictec.2016.01.011.
- [28] GUISELEY K B, KIRKPATRICK F H, PROVONCHEE R B, et al. A further fractionation of agarose[J]. Hydrobiologia, 1993, 260(1): 505-511. DOI:10.1007/BF00049063.